

$$N = \sigma \cdot \phi$$

$$\frac{d\sigma}{d\Omega} = \frac{1}{\phi} \cdot \frac{dN_s}{d\Omega}$$

$$N_s = \phi(\theta) \left[ 1 - e^{-\lambda_{\text{target}} \cdot \sigma \cdot d} \right] ; \lambda_{\text{target}} = \frac{\rho N_A}{A}$$

$$\frac{d\sigma}{d\Omega} = |f(\theta, \phi)|^2$$

$$f(\theta, \phi) = -\frac{m}{2\pi\hbar^2} \int e^{i(\vec{c}\vec{r} - \vec{k}_f \cdot \vec{r})} V(\vec{r}) d^3r$$

$$\frac{d\sigma}{d\Omega} = \left( \frac{d\sigma}{d\Omega} \right)_{\text{point}} |F(q)|^2$$

932, 494 MeV/uma

$$\lambda_{\text{esp}} = \frac{\lambda N_A}{\rho_{\text{at}}}$$

$$\lambda = \sum \lambda_i$$

$$BR = \frac{\lambda_i}{\lambda} \rightarrow N_{\text{dec}} = N_{\text{in}} \cdot BR (1 - e^{-\lambda t})$$

$$Q_{\alpha} = T_{\alpha} \left( 1 + \frac{m_{\alpha}}{M_{\text{nucl}}(Z, A)} \right)$$

$$Q_{\text{it}} = T_i + B_i$$

$$p \text{ (GeV/c)} = 0,3 \cdot BCTJ \cdot g \text{ (mm)}$$

$$\theta = \frac{1}{\gamma} = \frac{511}{E \text{ (keV)}} \quad \triangle \theta$$

$$L \sim 10^{30} \text{ cm}^{-2} \cdot \frac{1}{\sigma} \sim \Delta$$

$$L = \gamma N_b n \frac{1}{\sigma}$$

$$\frac{dN}{dt} = L \sigma \rightarrow N = \sigma \int L dt = \sigma \cdot L_{\text{int}}$$

Blanco fijo  $\propto \sqrt{2Emc^2}$   
 Colisión  $\rightarrow \propto 2\sqrt{E_1 E_2}$

$$\Delta E / \text{vuelta} \propto \left( \frac{E^4}{M_0} \right) \cdot \frac{1}{\rho}$$

$$E_{\text{max}}(\text{RF}) \sim 30 (\rho \Delta E_{\text{max}})^{1/4}$$

$$- \frac{dT}{dx} = - \frac{dE}{dx} \rightarrow S = - \frac{dE}{\rho dx}$$

$$\frac{dE}{dx} |_{\text{total}} = \frac{dE}{dx} |_{\text{col}} + \frac{dE}{dx} |_{\text{rad}}$$

$$S_{\text{cool}} = 0,1535 \frac{z}{A} \frac{z^2}{\beta^2} \left\{ \ln \left( \frac{2m_e c^2 \beta^2 \gamma^2 E_{\text{max}}}{I^2} \right) - 2\beta^2 - \frac{\delta - 2 \frac{c}{E}}{m_e c^2} \right\}$$

Bethe-Block



max  $\gamma = 3$ ;  $\beta = 0,96$

$S_{\text{total}} = \sum S_i$  o  $\frac{1}{k} = \dots$  Regla de escala.

$$\sigma_{\text{ph}} \propto \frac{z^5}{E_{\gamma}^{-7/2}}$$

$$v_{\text{com}} \propto \frac{z}{E_{\gamma}^2}$$

$$T_{\text{max}} = E_{\gamma} \frac{2\gamma}{1+2\gamma^2}; \quad \gamma = \frac{E_{\gamma}}{m_e c^2}$$

$$T_{\text{max}} = v_{\text{paras}} \propto \frac{z^2}{E_{\gamma}^3}; \text{ umbral}$$

$$\phi = \phi_0 \cdot e^{-\mu x} = \phi_0 \cdot e^{-\frac{\mu}{\rho} \cdot \rho x}$$

$$R = \frac{\text{FWHM}}{A_0}$$

$$R \propto \frac{1}{\sqrt{E}}$$

$$\Rightarrow E = \frac{V_0}{\ln(\frac{b}{a})} \cdot \frac{1}{r}$$

$$\phi(r) = \frac{V_0}{\ln(b/a)} \ln\left(\frac{b}{r}\right)$$

$$\frac{\Omega}{4\pi} = \frac{1}{2} \left( 1 - \frac{d}{\sqrt{d^2 + r^2}} \right)$$

$$\text{FWHM} = 2 \sqrt{2 \ln 2} \cdot D$$

$$K_{\text{eff}} = M_{\text{th}} + Z m_e - B_i = A \cdot \Delta u + \Delta$$

$$= Z \frac{m_e c^2}{A} N_{\text{th}} - E_{\text{L}}$$

$$Z_{\text{eff}} = \frac{A/2}{1 + \frac{\alpha c}{40A} A^{2/3}} \approx \frac{A}{1,98 + 0,015 A^{2/3}}$$

$$\rho = 0,3 \cdot B \cdot \rho$$

$$N = \frac{m_i N_A}{\rho_{\text{ot}}}$$

$$T_e = Q_{\text{ci}} B_L$$

$$\sigma \propto \mu$$

$$\omega_{\text{Larmor}} = \frac{q_s \mu_N B_0}{\hbar}$$

RC  $\Rightarrow$   $Z_r \rightarrow$  modo voltaje

$$\left(\frac{d\sigma}{d\Omega}\right) = \left(\frac{d\sigma}{d\Omega}\right)_{\text{point}} \cdot |F(q)|^2 \quad \sigma \rightarrow F \rightarrow r^2$$

$$F(q) = \int \rho \cdot e^{i\vec{q}\cdot\vec{r}} \cdot d^3r = \dots = 1 \Rightarrow \frac{1}{6} \langle r^2 \rangle = \frac{4\pi}{9} \int \rho(r) \cdot r^2 \sin(qr) dr$$

$$\langle r^2 \rangle = \frac{3}{5} R^2 \rightarrow R = 1,29 \sqrt{\langle r^2 \rangle}$$

$$R = r_0 \cdot A^{1/3} \rightarrow \frac{A}{4\pi R^3} \approx \rho \approx 0,14 \times 10^{25} \text{ kg/m}^3 ; R_0 \sim 1,23 \text{ fm}$$

$$\rho(r) = \frac{1}{2\pi r^2} \int F(q) \cdot q^3 \cdot \sin(qr) dq \approx \text{cte} ; \text{interza} \sim \text{cte} \sim 2,3 \text{ fm}$$

$$\rho_{\text{Fermi}} \sim \frac{\rho_0}{1 + e^{-(r-R)/\lambda}}$$

$$\rho_{\text{prot}} = \rho \cdot e^{-q_0 r}$$



$$\sigma_{\text{ruth}} \sim \left(\frac{Z}{T}\right)^2 \sin^4 \theta/2 ; \text{radio carga} \approx \text{radio nuclear}$$

$$\rho_M = 2,3 \cdot 10^{17} \text{ kg/m}^3 \rightarrow \text{indep } A \rightarrow \text{corto alcance, saturación}$$

$$d = \Delta M c^{-2}$$

$$\text{Thomson } \gamma = \frac{2E}{12\pi r_e} \frac{m}{q} \times 2$$

$$\text{espectr. } v = \frac{E}{B}$$

separación isótopos  $\rightarrow$  centrifugación

$$B_{\text{balance}}(M) = Z M(^1H) + N m_n - M(^2X_u)$$

$$B/A \sim 8 \text{ MeV} \rightarrow \text{saturación}$$

$$B(Z/A) = avA - asA^{2/3} - ac Z(Z-1)A^{-1/3} - a \sin \frac{(A-2Z)^2}{2A} + \delta \begin{cases} -apA^{3/4} & i-i \\ 0 & p-i \\ +apA^{3/4} & p-p \end{cases}$$

$$E_{\text{min}} \approx \frac{A/2}{1 + \frac{ac}{v_{ph}} \cdot A^{2/3}} \sim \frac{A}{2 + 0,0156A^{2/3}} \quad \cup^{Z-I} p-d$$

$$\vec{J} = \vec{L} + \vec{S} \rightarrow \text{Nucleón } \vec{J} = \vec{L} + \frac{\vec{S}}{2} \rightarrow \text{Número } \begin{cases} \text{par} \rightarrow \text{entero} \\ \text{impar} \rightarrow \text{semi} \end{cases}$$

$$J_{\text{par}} = 0$$

$$P\psi = (-1)^L \psi \rightarrow \text{se conserva } EM, \text{ Fuerza}$$

$$P(\text{nucleón}) = +1 \rightarrow P(\text{núcleo}) = (-1)^L$$

$$L = 1/2 \rightarrow \frac{I_{\text{N}}}{\hbar} = \pm 1/2$$

$$N-N \rightarrow \frac{1}{2} + \frac{1}{2} = \begin{cases} + \rightarrow 2 \rightarrow 2 \cdot 2 + 1 = \text{triplete} \rightarrow \text{sim} \\ - \rightarrow 0 \rightarrow 2 \cdot 0 + 1 = \text{singlete} \rightarrow \text{anti-s.} \end{cases}$$

$$\vec{I} \geq \frac{|Z-N|}{2}, I_2 = \frac{Z-N}{2}, Q = I_2 + \frac{A}{2}$$

nuclear depende I, no I<sub>2</sub>  
e.m. conserva I<sub>z</sub>

$\langle z^2 \rangle = \langle x^2 \rangle \rightarrow Q_0 = 0$  esf.  
 $\gg$  oblongo (prolate)  
 $\ll$  achatado (oblate)

$$\vec{\mu} = \vec{\mu}_l + \vec{\mu}_s = (g_l \vec{L} + g_s \vec{S}) \frac{\mu_N}{\hbar}$$

$$\vec{\mu} = g \frac{\mu_N}{\hbar} \vec{J}$$

$$\langle \mu \rangle = [g_l (j \pm 1/2) + \frac{1}{2} g_s] \mu_N$$

RNM

$$V = -\vec{\mu} \cdot \vec{B} \rightarrow 2j+1 \text{ niveles} \quad \text{fotons}$$

$$W = g \frac{\mu_N B_0}{\hbar} \rightarrow \text{precesión} \rightarrow \text{apagar} \rightarrow \gamma (\text{uv})$$

$$\vec{B} = (B \cos \omega t, B \sin \omega t, B_0)$$

$W_L$  (nucleo);  $B_0$  cambia con entorno químico

nucleones idénticos  $\rightarrow O^+$  ( $l=0$ ) por aparear

Modelo colectivo  $\left\{ \begin{array}{l} \text{vibr. } A < 150 \\ \text{rotac. } A > 150 \end{array} \right.$

Par-par  $\rightarrow O^+$  (apareados)

$A$  impar  $\rightarrow$  partícula indep.

$$J = j$$

$$P = (-1)^l$$

$$l = j \pm \frac{1}{2} \rightarrow l \text{ fija } j$$

$\rightarrow$  nos mágicos  $\mu$  pios, abundantes

$\rightarrow$  no interacción cruzada  $\rightarrow$  Ventral efectivo (Hartree-Fock)

proo, armónico  $\rightarrow$  parte

$$\text{Saxon-Woods } \frac{-V_0}{1 + e^{(r-R)/a}}$$

$\rightarrow$  Nos mágicos 2, 8, 20, 28, 50, 82, 126, 184

Potencial esph-órbita

$$(r, l, j)^x \rightarrow \text{Protones } (\pi p_{1/2})_{1/2}^{-1}$$

$$\rightarrow \text{Neutrones } (\nu d_{5/2})_0^2$$

$\hookrightarrow$  bien cerca capa cerrada

$$\left. \begin{array}{l} 1s_{1/2} \\ 1p_{3/2} \\ 1p_{1/2} \\ 1d_{5/2} \\ 2d_{3/2} \\ \vdots \end{array} \right\} \begin{array}{l} 2j+1 \text{ estados} \\ l = j \pm 1/2 \end{array}$$

$$Q_p = - \frac{2j-1}{2(j+1)} \langle v^2 \rangle$$

$$\langle r^2 \rangle^2 = \left( \frac{3}{4} v_0 A^{1/3} \right)^2$$

$$\rightarrow \text{...}$$

$$P(E_f) = \frac{1}{2\pi} \frac{1}{(E_f - \mu)^2 + \Gamma^2/4} \rightarrow \text{Breit-Wigner}$$

$$\Delta E = \Gamma = \hbar/\tau$$

$\Delta$  ideal  $\rightarrow \lambda_2 = \max$

$$\rightarrow \tau_{in} = \frac{\tau_1 \tau_2}{\tau_1 - \tau_2} \text{ en } \frac{\tau_1}{\tau_2}$$

$\Delta$  secular  $\rightarrow \lambda_2 \gg \lambda_1$

$$\rightarrow \frac{A_2}{A_1} = \frac{\lambda_2}{\lambda_2 - \lambda_1} (1 - e^{-(\lambda_2 - \lambda_1)t}) \rightarrow \sim 1$$

$\Delta$  transitorio  $\rightarrow \lambda_2 > \lambda_1$

$$\rightarrow \frac{A_2}{A_1} \sim \frac{\tau_1}{\tau_1 - \tau_2}$$

$\Delta$  No equilibrio  $\rightarrow \lambda_2 < \lambda_1$

$$\rightarrow A_2 \sim N_{20} \lambda_2 e^{-\lambda_2 t}$$

$$A_n = N_{10} \left( \prod_{i=1}^n \lambda_i \right) \left[ \sum_{k=1}^n \frac{e^{-\lambda_k t}}{\prod_{j=1, j \neq k}^n (\lambda_j - \lambda_k)} \right]$$

si  $\Delta$  secular  
 $\rightarrow \lambda_i N_i = \lambda_n N_n$

Radioact artificial

$$\hookrightarrow A_Z = R(1 - e^{-\lambda_Z t}) \quad (N_2 \approx \text{cte} = N_{10}, \lambda_1 \ll \lambda_2)$$

$$R = N_1 \cdot \sigma \phi = \lambda_1 N_1; \lambda_1 = \sigma \phi$$

Perdida  $r = R \lambda_2$

$\rightarrow$  no/dtos per per

< Geiger-Nuttall  $\log T_{1/2} = C + \frac{D}{\sqrt{V\alpha}}$ ;  $C, D(A)$

$$f = \frac{V\alpha}{2a}$$

$\hookrightarrow$  solo con efecto túnel  $\Pi$  ó  $\curvearrowright$   
 falten  $\psi$

$\alpha \rightarrow$  fuerte + e.m  $\rightarrow$  paridad se conserva

$$J^P(\alpha) = 0^+ \quad \vec{J}_i = \vec{J}_f + L_{\alpha} \quad |J_i - J_f| \leq L_{\alpha} \leq J_i + J_f$$

$$P_f = P_i (-1)^{L_{\alpha}} \rightarrow L_{\alpha} \text{ par si } P_i \text{ par } \text{ o } P_i \text{ impar}$$

si  $P_i = 0^+$ , s6lo  $0^+$   
 (nucleos par-par)  $\hookrightarrow J_f = L_{\alpha}$   
 $0^+ \rightarrow \begin{matrix} 0^+ \\ 1^- \\ 2^+ \\ 3^- \end{matrix} \rightarrow P_f = (-1)^{L_{\alpha}}$

$P \quad \lambda = \frac{2\pi}{\hbar} | \langle f | V | i \rangle |^2 \rho(E_f); \quad V_{fi} = \frac{G_F}{V} M_{fi}$

$\vec{S}_{e, \nu} = \frac{1}{2} \rightarrow$  Fermi  
 $\rightarrow$  G-T  $\rightarrow$  cambia signo bajo paridad

Helicid  $\lambda = \frac{\vec{\sigma} \cdot \vec{p}}{|\vec{\sigma} \cdot \vec{p}|}$  cambia S, no I;  $0_{\chi} = C_T + g_A \lambda C_T$   $\rightarrow$  cambia I

$T_{max} = Q$ ;  $\beta^+$  a través Coulomb  $\rightarrow$  función de Fermi  $F = \frac{x}{1 - e^{-x}}$ ;  $x = \frac{Z_2 e^2}{p}$

transic. prohib.  $\rightarrow M \neq 0 \quad (E) \rightarrow S = p^2 + q^2$  factor de forma nuclear  $f^2 p$ .

Plot. de Kurie permitidas  $\rightarrow$  baja E interacción con protons

Masa  $\rightarrow$  

Semiridas comparativas

$\lambda = K_1 G_F^2 |M_{fi}|^2 \int (L^E; Q)$  Integral de Fermi

$f_t = \frac{\ln Z}{K_1 G_F^2 |M_{fi}|^2} \rightarrow$  sólo especie nuclear

$3-4$	superp
$1-6$	Permitidas
$6-10$	$1 \leq p$
$10-13$	$2 \leq p$
$> 15$	$3 \leq p$

$\rightarrow 0^+ \rightarrow 0^+$  (Fermi pur)  
 $\checkmark$   $\Delta p \neq 0$  máx

Fermi  $\rightarrow S=0, |M_{fi}| = 1$

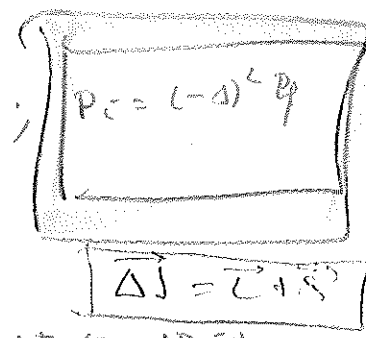
$\hookrightarrow$  leptones: simpletes

superp  $\rightarrow M_{fi} = \sqrt{2} \rightarrow$  tripletes I  $\rightarrow$  sacos  $G_F$

CE  
 $\psi_K \propto e^{-r/a_0}$   
 $\lambda_{CE} \propto Z^3$   
 $\lambda_B \propto p^2$

$\log f_t = \log f + \log t_{1/2}$

$L=0$  Permitidas;  $L>0$  prohibidas  
 No conserva paridad  $\times \rightarrow \vec{J}_i = \vec{J}_f + \vec{L} + \vec{S}$   
 $L$  dado,  $S \begin{cases} 0 \rightarrow \vec{L} = \vec{S} \\ 1 \rightarrow \vec{L} = \vec{L} + \vec{S} = \begin{pmatrix} L+1 \\ L-1 \end{pmatrix}$



$\rightarrow$  superp  
 $\times$  aquí,  $L$   
 $+ S$  abajo  
 $\Delta =$  proyección  $\{L+S\}$

F  $L=0=S=0 \rightarrow \Delta J=0, \Delta T_z = \pm 1; \Delta T = 0; E_i + E_j \neq 0, \Delta p = +$

GT  $L>0, S=1 \rightarrow \Delta J = \vec{L} \rightarrow \Delta J = 0, \pm 1 \rightarrow |J_f - J_i| \leq L \leq J_i + J_f$   
 $\Delta T_z = \pm 1, \Delta p = +$

Reinas - Cowan

$\bar{\nu}_e + p \rightarrow n + e^+$   
 $\hookrightarrow$  captura radiativa (disuelto en agua)

$\gamma$   
 $Z, \beta, \tau = t$

Estimadores de Weisskopf

$\vec{J}_i = \vec{L} + \vec{S}$   
 $\Delta p = + \rightarrow$  par E  
 impar M

$\lambda \left( \frac{E}{M} L \right)$ , multipolaridad  $L$   
 $\rightarrow$  superp  $\times$  aquí, luego  $0 < |J_i - J_f| \leq L \leq J_i + J_f$   
 $\lambda(E_1) \gg \lambda(M_1)$   
 $\lambda(E_2) \sim \lambda(M_1) \gg \lambda(E_3)$

$0 \rightarrow 0$  prohibido porque  $L \neq 0 \geq 1$  (espín  $\gamma$ )

CE  
 $\lambda = \lambda_e + \lambda_{ee} \rightarrow \alpha = \frac{\lambda_e}{\lambda_e} \rightarrow \lambda = \lambda_0 (1 + \alpha)$   
 $\alpha = \alpha_K + \alpha_L + \alpha_M$   
 My reglas selección, pero  $0 \rightarrow 0$  permitido (E0) con  $\Delta p = +$

# Dozimetría

Estocásticos ; Daño < directo  
 Deterministas ; Daño < indirecto

$1 Ci = 3,7 \cdot 10^{10} Bq$  (actinid)

Exposición  $X \Rightarrow \frac{Q}{m} \rightarrow 1 R \stackrel{1 \text{ esu} \dots}{=} 8,76 \text{ mby}$  ;  $1 e = 4,8 \times 10^{-10} \text{ esu}$   
 $m_{\text{muere}} = 1,233 \times 10^{-3} \text{ g}$

Dosis absorbida  $\rightarrow$  Gray

$1 \text{ rad} = 100 \text{ erg/g} = 0,01 \text{ Gy} \rightarrow 1 \text{ Gy} = 100 \text{ rad} = 10^4 \text{ erg/g}$

Dosis equivalente  $\rightarrow$  Sievert

$H = W_F \cdot D \rightarrow W_F = \begin{cases} 1 & \gamma, \beta, X, \mu \\ 5 & n, p \\ 20 & \alpha, \text{ otros} \end{cases}$

Dosis eq. efect  $H_e = \sum w_i H_i$

Tasa  $\dot{X} = \mu \frac{A}{d^2}$  ... etc específica de tasa de exposición.

ALORA

Dosis letal (50% muerte en 30 días)  $\rightarrow 4-8 \text{ Sv}$

Dosis medias  $\sim 2,50 \text{ mSv/año}$

## • Datación $^{14}C$

$t - t_0 = \frac{1}{\lambda} \ln \frac{N(t_0)}{N(t)}$

50 años - 60.000 años

• AMS (espectrometría de masas con aceleradores)  
 reducir ruido  $\rightarrow$  coarctar  $\rightarrow$  isóbaros ; stripper  $e^-$

• Geológica  $\rightarrow Rb^{87}; U^{238}$   
 $10^{10} \quad 10^9$

$y = mx + n \quad P(t_0) + H(t_0) = P(t) + H(t)$

## • Absorción resonante - efecto Mössbauer

$\hookrightarrow$  foto'n, resonancia,  $z \sim 1 \text{ ps}$  emisión - absorber

$2TR = E^2 / \mu c^2$

$\gamma T \rightarrow$  efecto Doppler, resonancia fluorescente  
 $\hookrightarrow$  aular  $\rightarrow$  centrifugadores  $\rightarrow$  sin atraso = Mössbauer  
 $\hookrightarrow$  CE

$\rightarrow$  permite medir desplazamiento químico,  $\vec{Q}, \vec{\mu}$ , planetas, cometa al rojo, ...

## • NAA: análisis $X$ act. neutrónica

- irradiar con  $n$   $A_2 = R(1 - e^{-\lambda t})$ ;  $R = M \sigma \phi$   
 $\hookrightarrow$  no destrucción  $\rightarrow$  pintura
- delgadas  $\rightarrow$  cargadas, rayos X

• Tracing  $\leftarrow$   $\begin{matrix} \text{trazadores, sangre} \\ \text{vitaminas, Mg} \\ \text{fugas, protección} \end{matrix}$

• Gauging  $I = I_0 e^{-\mu x}$   
 $\hookrightarrow$  espesor, nivel, calpa

• esterilización  
 rayos X

• Imagen  $\leftarrow$   $\begin{matrix} \gamma \\ \text{Tc} \\ \text{PET, SPECT} \end{matrix}$  • Radioterapia

# Fisión

T.5

compite  $A > 250$

elipsoide

- as 5,  $Q < 2$

$\frac{Z^2}{A} > 17 \begin{cases} Z > 114 \\ A > 270 \end{cases} \rightarrow$  fisión instantánea  $Q > E_{barra}; E_{act} > 0$

$\xi \rightarrow$  fisión espontánea  $Q \sim E_{barra}; E_{act} \sim 0$

absorción  $\rightarrow$  fisión inducida  $\sim$  barra  $E_{act} < 0, Q < E_{barra}$   
inhibida  $< "$

Energía de activación  $= E_{max} - E_0$

$M \rightarrow$  neutrones térmicos mínimo en  $A \sim 22$   
energéticos máximo " "

fisión  $\rightarrow 10^{-26} s \rightarrow$  neutrones prompt;  $\sigma = 1.08$   
se equilibran  $\frac{2}{4}$

$\rightarrow s \rightarrow$  desintegración  $\beta \rightarrow$  neutrones delayed  $\sim 2,5\% u, 4\%$  fisión

cadena nuclear  $\rightarrow$  serie radioactiva,  $\epsilon$  grande

$\sigma(u$  térmicos)  $\sim 10^3 \sigma(u$  rápidas) ( $^{235}U$ );  $^{239}U \rightarrow$  sólo los rápidos  $\frac{235}{238}$   
 $235 \leftrightarrow 238 \leftrightarrow \delta \sim 0,6 MeV$

$Q/fis$  200 MeV  $\rightarrow$  T frag  $\sim 80\%$   
Prompt  $\sim 2\%$ ,  $2,5/fis \rightarrow 5 MeV, \beta$  prompt  $\rightarrow 8 MeV$   
 $\beta \rightarrow 43 MeV$  (30%)  
 $12 MeV \rightarrow \nu, 7 MeV \beta$

$I_0 = I_0 e^{-\sigma t NX}$   
 $N = \frac{N_0 t}{V} \rightarrow E_{tot} = \sigma_{tot} \cdot \frac{dN}{dV}$

frenar  $u \rightarrow$  moderación  $\rightarrow \frac{E}{E_0} = \frac{A-1 + 1 + 2A \cos \theta}{(A+1)^2}$

$k_{inf} \rightarrow$  sin pérdidas  $k_{inf} = \eta \epsilon pf$

$k = 1$  Debe crítica Reactivos  $\rho = \frac{k-1}{k}$   
 $k < 1$  " sub "  
 $k > 1$  " super "

$\eta = \nu \frac{\sigma_{fis}}{\sigma_{fis} + \sigma_{abs}} = 1,33$  (U natural)  $\rightarrow k = k_{inf} (1 - l_f)(1 - l_a)$   
 $1,84$  (13% enrig)

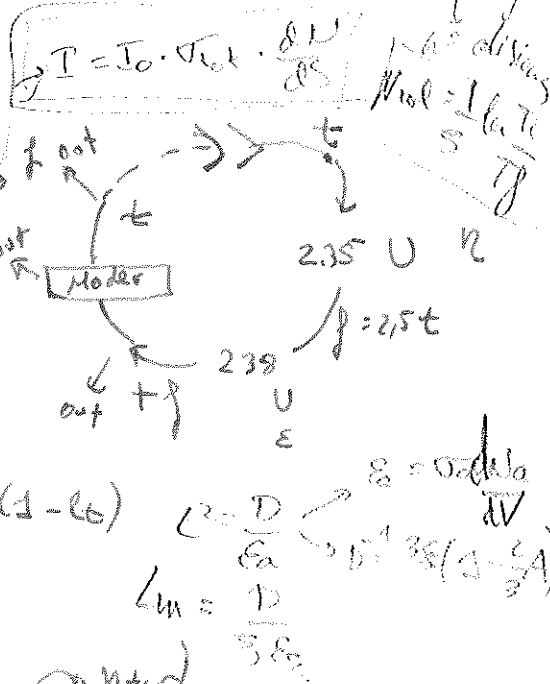
$M \equiv$  longitud migrada  $= \sqrt{L_d^2 + L_{tr}^2} = \sqrt{L_d^2 + \tau^2}$

Longitud de difusión  $L_d$  (retar abs)  
" frenado / Moderad  $\equiv$  ed Fermi térmica ( $u_{frag} \sim u_{ter}$ )

$k_{inf} - k \propto \frac{M^2}{s}$ ;  $S_c \propto \frac{M^2}{k_0 - k}$ ;  $\tau$

$N(t) = N_0 e^{(k-1)t/2}$ ;  $\tau$ : cte de tiempo neutroica ( $t$  moderad + ab)

control  $k \rightarrow$  barras Cadmio, boro, sumario  
feno grueso  $\rightarrow$  paracho





Neutrones retrasados  $\rightarrow$  2%  
Envenenamiento pile  $\rightarrow$  Xe, Sm, Tm, U alta  $\rightarrow$  extrinsecos Savannah River

Vnat  $\rightarrow$  0,72%  $U^{235}$

Vennq 3% "  $\rightarrow$  difusión UF<sub>6</sub>

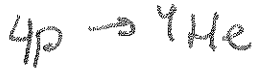
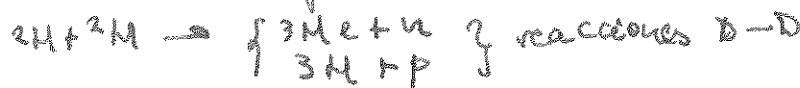
- Control, A alto
- $He$  agua ligera, alta  $\sigma$
- $D_2O$
- Be, BeO

## Fusión

Vencer  $E_{coul} > 24,2 \text{ MeV}$

$\rightarrow$  acelerar iones,  $\sigma_{fus}$  pero  $\sigma_{peq}$

$\rightarrow$  calentar dom gas He



Plasma  $\rightarrow$  mezcla neutra iones<sup>+</sup>  $\rightarrow$  confinamiento magnético + inercial  
 $\rightarrow$  pérdidas radiat

$\rightarrow$  TOKAMAK, ITER, o aceleradores



$\rightarrow$  contiene y empuja

partículas extrañas  $\rightarrow 10^{-23}$  s prod.  $10^{-10}$  s deint en V (debil)

sabor: extraña  $\rightarrow$  se viola débil  
 ↳ copioso, por pares (fuerte)

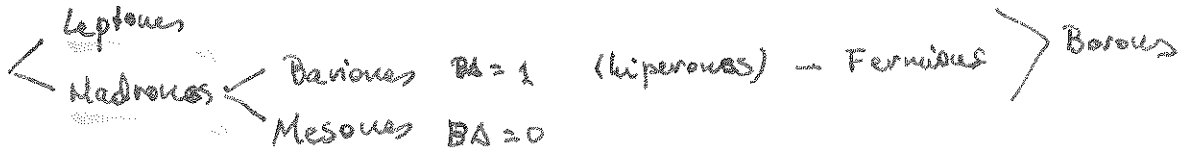
misma JP  $\rightarrow$  my multiplete de isospin  $\rightarrow$  geometría Q, S

bariones  $\{q_1 q_2 q_3\}$  quarks uds  $\rightarrow Q = \frac{1}{2}(BA+S) + I_3$   
 mesones  $\{q_1 \bar{q}_2\}$

$I_3(u) = \frac{1}{2} = -I_3(d)$  ;  $I_3(s) = 0$   
 $S(s) = -1$  ,  $BA(q) = 1/3$

Le se conserva

$\begin{Bmatrix} e^- \\ \nu_e \end{Bmatrix}$	$\begin{Bmatrix} \mu^- \\ \nu_\mu \end{Bmatrix}$	$\begin{Bmatrix} \tau^- \\ \nu_\tau \end{Bmatrix}$			
			C	S	T B
u	$\frac{1}{2}$	$\frac{1}{2}$	c	1	0
d	$\frac{1}{2}$	$-\frac{1}{2}$	s	0	-1
			t	1	-1
			b		



S se conserva en fuertes, se viola en débil  
 $\rightarrow$  se conserva n<sup>o</sup> bariónico (ferm), no el bosónico  
 n<sup>o</sup> quarks

eléctrico =  $I_3 + \frac{BA+S+C+B+T}{2}$  (Gell-Mann - Nishijima)

simetría isospin no es exacta x efectos EM-débil

Resonancias  $\rightarrow$  bariones/mesones excitados, o Breit-Wigner  
 ↳ cambia J

Simetrías

Tma. Noether : Simetría  $\propto$  Conserva

Continuas  $\rightarrow$  Aditivos

Discretas  $\rightarrow$  multiplicativos (paridad, conjug. carga)

- conserva n<sup>o</sup> leptónico, bariónico ;
- $I_3 = Q - \frac{BA+S}{2}$  ;  $I_{p,u} = 1/2$  ;  $I_{\pi} = 1 \rightarrow$  se conserva en fuertes, no en EM/débil

$\frac{1}{2} \pm \frac{1}{2} \left\langle \begin{array}{l} 100 \\ 1 \end{array} \right\rangle = \frac{1}{\sqrt{2}} (|p_u\rangle - |p_d\rangle)$

$\rightarrow$  se conserva I total

$\rightarrow A_{3/2}$ , Heisenberg-Gordan

$P_{1/\sigma} \propto |\langle p|H|i\rangle|^2 \cdot p(E)$

- $S(K^\pm) = \pm 1$
- Paridad  $\rightarrow P(q, \ell) = +1$  ;  $P(\bar{q}, \bar{\ell}) = -1 \rightarrow$  se conserva  $\leftarrow$  em  
 + orbital  $(-1)^L$

$P_{mes} = (-1)^{L+1} = P_{mes}$  ;  $P_{ferm\ fermi} = (-1)^{L+1}$  ;  $P_{boson} = P_{boson}$

$P_{bar} = (-1)^{L+2} (-1)^{L+3} = -P_{bar}$

$$\lambda \equiv \text{helicidad} = \frac{\vec{p} \cdot \vec{p}}{|\vec{p}| |\vec{p}|} = \begin{matrix} +1 & \text{dextróg} \\ 0 & \text{transversal} \\ -1 & \text{levóg} \end{matrix}$$

→ cambia signo bajo paridad

neutrinos → levóg  
anti " → dextróg.

• Conjugación de carga

↳ partícula → antipartícula sin cambiar  $\vec{p}, \vec{S}$

↳ todos los n.º cuánticos,  $\vec{p}, \dots$

↳ propio si bosón neutro →  $\pi^0, \eta^0, \dots$

↳ bariones y leptones no son propios de C

• partícula-antipartícula

$$C(\psi) = -\psi$$

- fuertes + EM invariantes bajo C → cargas se mantienen

débiles violan C

- CP →  $\bar{\psi}$  también se viola (Kobayashi-Maskawa) (estados mezcla)

$$S(\psi) = \frac{1}{2}$$

$$C(\psi\bar{\psi}) = (-1)^{L+S}$$

$$C(b\bar{b}) = (-1)^L$$

$$P(\psi\bar{\psi}) = (-1)^{L+S}$$

$$P(b\bar{b}) = (-1)^L$$

T. 7

Klein-Gordon

$E^2 = p^2 + m^2$ , Dirac  
 proyectado espín sobre  $\vec{p}$ , helicidad

QED

acoplado  $e^- - \gamma \rightarrow \Delta_{\mu\nu} \equiv \gamma$  (propagador)

Mfc  $\rightarrow$  diagrama, interaccionan cuantos,  $\sigma \propto 1/\lambda^2$   
 partículas  $\equiv$  líneas externas, sentido tiempo

Amplitud

- $\hookrightarrow$  se acopla en cada vértice
- $\hookrightarrow$  campo para. externo
- $\hookrightarrow$  propagador del bosón virtual (líneas internas)

En cada vértice se conserva p, q, pero no se verifica  $E^2 = p^2 + m^2$

$\Delta E \cdot \Delta t \sim \hbar$   $R = c/\lambda = \frac{h}{mc}$   $\rightarrow$  alcance interacción nuclear

Cada vértice  $\rightarrow \sqrt{\alpha}$ ,  $\sigma \propto (\sqrt{\alpha})^2$

Vértice de menor orden es de orden 2

Difus. $e^-e^-$	$e^-e^+$	Aniquilación	P. pares	Dif. Compt
Ep. fotoel. (átomo)	Bremsstr. (núcleo)	P. pares (núcleo)	... es otro vértice $\sim \sqrt{\alpha}$	

No hay acoplado entre  $\gamma$  (QED abeliana)



QCD

Color (quarks), acoplamiento gluones,  $\sqrt{\alpha_s} \sim 1$   $\Lambda^+ \approx \mu$   
 La para no violar ppo. exclusión Pauli  $(\uparrow\uparrow\uparrow, \downarrow\downarrow\downarrow) \rightarrow 7 = 3/2$

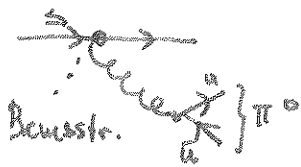
hadrones  $\rightarrow$  singletes de color  
 gluones (8), neutros, sin masa, bosones, bicontraidos (8)

conservar carga, color  
 $u(r) \rightarrow q(B, \bar{3})$   
 $\bar{u}(l) \rightarrow \bar{q}(\bar{B}, 3)$



fuerzas efectivas tipo Van der Waals

$\alpha_s \sim 35 \sqrt{\alpha}$   
 gluones entre ellos



$$\Sigma^0 \rightarrow \Lambda^0 + \gamma$$



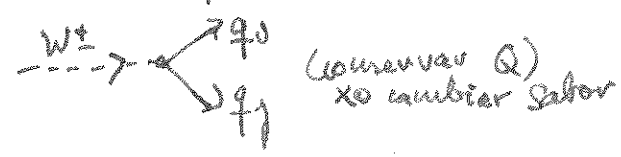
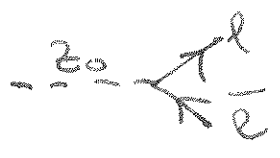
Decays:  $\pi^0 \rightarrow \gamma\gamma$  (dominant),  $\pi^0 \rightarrow e^+e^-$  (suppressed)

$\alpha_s < \alpha$  (strong vs electromagnetic)

Libertad asintótica  $\rightarrow$  quarks no interactúan si muy pegados  
 Confinamiento quark  $\rightarrow$  no estado libre, intensidad  $>$  con la distancia  
 $\rightarrow$  separación entre quarks produce  $q\bar{q}$   
 3 jets, no ves color sino su hadronización

### Interacc. débil

Corrientes cargadas  
 " - neutras } alcance  $\infty$



W y Z se acoplan entre sí  
 W también acopla al fotón

débil es perturbativa,  $\alpha_{W/Z} \sim 10^{-4} \alpha$